

## Ornstein-Uhlenbeck-Prozess

$$\dot{x} = -kx + \sqrt{2D} \xi(t)$$

$$\langle \xi(t) \rangle = 0$$

$$\langle \xi(t) \xi(t') \rangle = \delta(t-t')$$

FP-Gl.

$$\frac{\partial}{\partial t} P = \frac{\partial^2}{\partial x^2} (kxP) + D \frac{\partial^2}{\partial x^2} P$$

$$P = P(x, t | x_0, t_0)$$

$$-kt - t_0$$

$$\text{zeitabh. Lösung: } \langle X(t) \rangle_{x_0, t_0} = x_0 e^{-kt - t_0}$$

$$\langle \Delta x^2 \rangle_{x_0, t_0} = \frac{D}{k} (1 - e^{-2kt - 2t_0})$$

Autokorrel. fkt. (stationär;  $t_0 \rightarrow -\infty$ )

$$\begin{aligned} \langle X(t_1) X(t_2) \rangle_{x_0, t_0} &= \iint dx_1 dx_2 x_1 x_2 P(x_1, t_1 | x_2, t_2 | x_0, t_0) \quad t_1 \geq t_2 \geq t_0 \\ &= \int dx_2 \underbrace{\left[ \int dx_1 P(x_1, t_1 | x_2, t_2) \right]}_{\langle x_1 \rangle_{x_2, t_2} = x_2 e^{-k(t_1 - t_2)}} \underbrace{P(x_2, t_2 | x_0, t_0)}_{\sqrt{\frac{D}{2\pi k}} \exp\left[-\frac{k}{2D} x_2^2\right]}, \\ &\quad (t_0 \rightarrow -\infty) \\ &= e^{-k(t_1 - t_2)} \int dx_2 x_2^2 P(x_2) \\ &= \frac{D}{k} e^{-k|t_1 - t_2|} \langle x^2 \rangle_P = \underbrace{\langle \Delta x^2 \rangle_P}_{D/k} + \underbrace{\langle x \rangle_P^2}_{\langle x \rangle_P^2} \end{aligned}$$

exponentielle Korrelation mit Korrelationszeit  $\tau_c = \frac{1}{k}$

$$G(\tau) \equiv \langle X(t+\tau) X(t) \rangle = \frac{D}{k} e^{-k|\tau|} = \frac{D}{k} e^{-|\tau|/\tau_c}$$

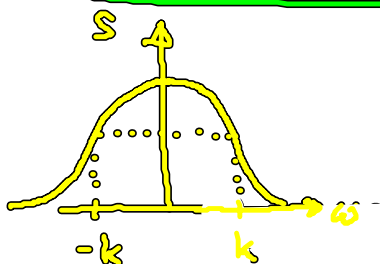
$$\text{Spektrale Leistungsdichte } S(\omega) = \frac{1}{2\pi} \int d\tau e^{-i\omega\tau} G(\tau)$$

$$S(\omega) = \frac{D}{2\pi k} \int d\tau e^{-k\tau} (e^{-i\omega\tau} + e^{i\omega\tau})^{-\omega}$$

$$= \frac{D}{2\pi k} \left[ \frac{-1}{k+i\omega} e^{-kt-i\omega t} \right]_0^\infty + \frac{-1}{k-i\omega} e^{-kt+i\omega t} \Big|_0^\infty$$

$$S(\omega) = \frac{D}{2\pi k} \left( \frac{1}{k+i\omega} + \frac{1}{k-i\omega} \right) = \frac{D}{\pi} \frac{1}{\omega^2 + k^2}$$

Lorentzkurve  
(Halbwertsbreite  $2k$ )



Dirkte Lösung der Langevin-Gl.  $\dot{x} = -kx + \sqrt{2D} \xi(t)$ :

$$\text{Subst. } y = x e^{kt}$$

$$\dot{y} = (\dot{x} + kx) e^{kt}$$

$$\Rightarrow \dot{y} = [-kx + \sqrt{2D} \xi(t)] e^{kt} + kx e^{kt}$$

$$\dot{y} = \sqrt{2D} e^{kt} \xi(t) \quad x(0) \text{ Anf. bed.}$$

$$\Rightarrow y(t) = \sqrt{2D} \int_0^t e^{kt'} \xi(t') dt' + y(0) \quad y(0) = x(0)$$

$$x(t) = x(0) e^{-kt} + \sqrt{2D} \int_0^t e^{-k(t-t')} \underbrace{\xi(t') dt'}_{dW'}$$

$$\langle x(t) \rangle = \langle x(0) \rangle e^{-kt} + \sqrt{2D} \int_0^t e^{-k(t-t')} \underbrace{\langle \xi(t') \rangle dt'}_0$$

zufällige Anf. vert.  
(unkorrel. mit  $\xi(t)$ )

Autokorrel. fkt.:

$$\begin{aligned} \langle x(t)x(t') \rangle - \langle x(t) \rangle \langle x(t') \rangle \\ = [\langle x(0)^2 \rangle - \langle x(0) \rangle^2] e^{-k(t+t')} + 2D \int_0^t dt'' e^{-k(t-t'')} \underbrace{\langle x(t'')x(t') \rangle}_{S(t'-t'')} \\ = [\langle x(0)^2 \rangle - \langle x(0) \rangle^2] e^{-k(t+t')} + \frac{2D}{2k} e^{-k(t+t')} \left. \frac{2kt''}{e^{kt''}} \right|_0^{t'} \\ = \left[ \langle x(0)^2 \rangle - \langle x(0) \rangle^2 - \frac{D}{k} \right] e^{-k(t+t')} + \frac{D}{k} e^{-k|t-t'|} \end{aligned}$$

S(t'-t'') fällt weg  
 für t > t'  
 sonst S(t'') weg

Stationär:  $t, t' \rightarrow \infty, |t-t'|$  endlich

$$= \frac{D}{k} e^{-k|t-t'|} \quad \text{wie aus FP-Gf. ?}$$

Varianz:  $t = t'$

$$\langle (\Delta x)^2 \rangle = [\langle \Delta x(0)^2 \rangle - \frac{D}{k}] e^{-k(t+t')} + \frac{D}{k} \xrightarrow[t, t' \rightarrow \infty]{\text{stationär}} \frac{D}{k}$$

### 3. Rauschinduzierte Oszillationen und Muster

Normalweise ist Rauschen (noise) unerwünscht, schreibt die determinist. Dynamik aus u. macht sie irregulär (chaotisch).

Neues Phänomen: konstruktiver Einfluss v. Rauschen in nichtlinearen Systemen

- bestimmte Rauschintensität ist optimal

#### 3.1 Stochastische Resonanz

Verstärkung eines schwachen period. Signals mit Hilfe von Rauschen.

Resonanz als Fkt. der Rauschintensität

Lit.: Gammaitoni, Hänggi, Jung, Marchesoni,  
Rev. Mod. Phys. 70, 223 (1998)

Benzi, Sutera, Vulpiani, J. Phys. A 14, L451 (1981) period. Wieder-  
 Nicolis C, Nicolis G, Tellus 33, 225 (1981) }kehr der  
 (kleine period. Schwankungen der Erdelipse u. der  
 Exzentrizität des Umlaufbahnen - welchen allein nicht aus  
 zur Erklärung der Klimaschwankungen,  $T=20.000$  Jahre)

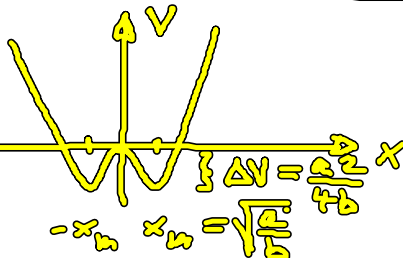
Weitere Beispiele: el. Schmitt-Kreis (Schmitt-Trigger),  
 bistabiler Ringlaser  
 chem. Reaktionen  
 Neurophysiologie (Spiking: 2-Zustands-Sys)  
 z.B. Finschreibe (crayfish)  
 Quanten-Tunneln  
 raum-zeitl. System (anregbare Medien)

### Überdämpfter Brown'sche Teilchen im bist. Potenzial

$$V(x) = -\frac{a}{2}x^2 + \frac{b}{4}x^4$$

mit period. Kraft  $A_0 \cos(\Omega t)$

u. weißen Rauschen  $\xi(t)$



Langevin-Gl.:

$$\dot{x} = -V'(x) + A_0 \cos(\Omega t) + \xi(t)$$

$$\langle \xi(t) \rangle = 0$$

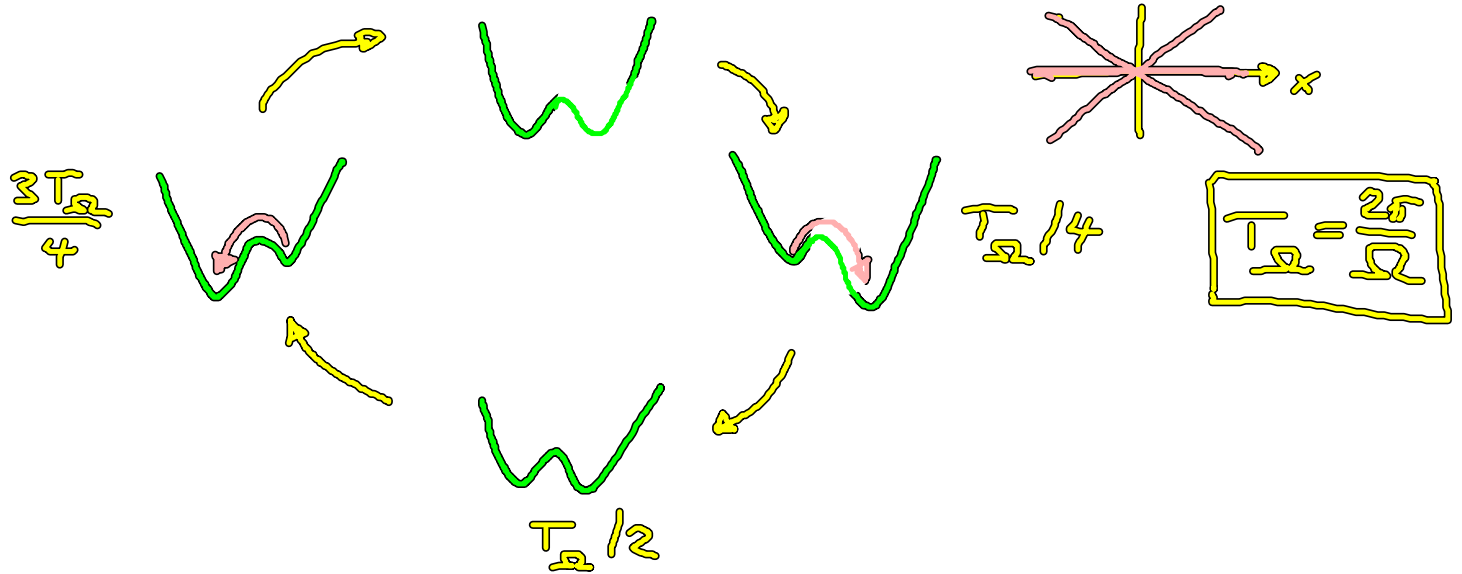
$$\langle \xi(t) \xi(t') \rangle = 2D \delta(t-t')$$

Rauschinduz. Übergangsrate (Kramers-Rate)

zwischen  $-x_m$  und  $+x_m$  (ohne period. Kraft):

$$r_K = \frac{1}{T_K(D)} = \frac{1}{\sqrt{2}\pi} \exp\left(-\frac{\Delta V}{D}\right) \quad (\alpha=b=1)$$

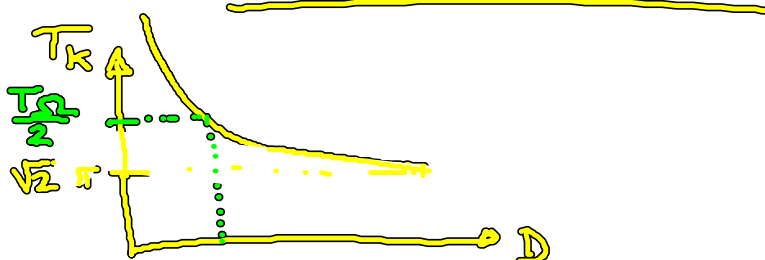
period. Modulation des Pot.  $V(x) - A_0 x \cos(\Omega t)$ :



$\Rightarrow$  period. Dsz. im bistab. Pot.  $\langle x(t) \rangle = \bar{x} \cos(\Omega t - \bar{\phi})$

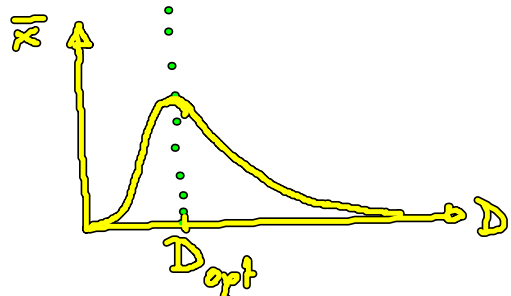
Verstärkung der Amplitude  $\bar{x}$ , wenn  $T_k \approx 2T_\Omega(D)$   
 $(\Omega \approx \pi r_k)$

$\Rightarrow$  stochast. Resonanz



für kleine Amplituden:

$$\bar{x}(D) = \frac{A_0 \langle x^2 \rangle_0}{D} \frac{2\tau_k(D)}{\sqrt{4\tau_k^2(D) + \Omega^2}}$$



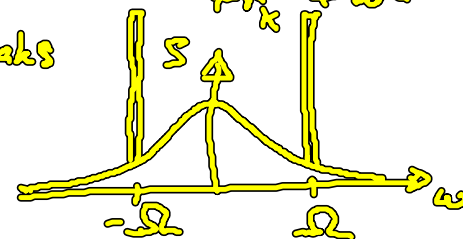
Spektrale Leistungsdichte

$$S(\omega) = \frac{1}{2\pi} \int_{-\infty}^{\infty} dt e^{-i\omega t} \langle x(t+\tau) x(t) \rangle$$

zweitlich über Anfangsphase  
gemittelt

$$\text{Untergrundrauschen } S_N(\omega) \approx \frac{4r_k \langle x^2 \rangle_0}{4r_k^2 + \omega^2}$$

überlagert durch S-Peaks  
d.h.  $\omega = \pm \Omega$



$$S(\omega) = \frac{1}{2} \pi D^2 [S(\omega - \Omega) + S(\omega + \Omega)] + S_N(\omega)$$

Signal-to-noise ratio (Maß für Signalverstärkung):

$$SNR = \frac{2 \lim_{\Delta\omega \rightarrow 0} \int_{\Omega - \Delta\omega}^{\Omega + \Delta\omega} S(\omega) d\omega}{S_N(\omega)}$$

$$\approx \pi \left( \frac{A_0 x_m}{D} \right)^2 r_k(D) \sim \frac{e^{-\frac{\Delta V}{D}}}{D^2}$$

